

NEUROBIOLOGIE FÜR BIOINFORMATIKERINNEN:
PRAKTIKUM B

PROTOKOLL ZUM 3. PRAKTIKUMSTAG AM 21.01.2019

Neurosim
Computersimulation von Nervensignalen

GRUPPE V

Gruppenmitglieder

ALIA ROTHKEGEL
MARA STEIGER

alia.rothkegel@fu-berlin.de
mara.steiger@fu-berlin.de

Lehrveranstalter

Prof. Dr. P.R. HIESINGER
Dr. D. MALUN
Prof. Dr. M. WERNET

TutorInnen

LISA PETERS
JOHANNES BRÜNER HAMMACHER
CLAUDIA HAUSHALTER

1 Einleitung

1.1 Membranpotential von Neuronen

Die Fortleitung von Informationen wird von Zellen des Nervensystem übernommen und basiert auf Spannungsunterschieden zwischen dessen Zellinnerem und dem extrazellulären Raum.

Aufgrund der Semipermeabilität der Membran von Neuronen liegt ein sogenanntes Ruhepotential von ca. -70mV vor. Die Membran ist für größere Ionen wie Natrium (Na^+) nicht permeabel, aber Kalium (K^+) kann frei diffundieren. Daher entspricht das Ruhemembranpotential in etwa dem Gleichgewichtspotential von Kalium. Durch die geringere Konzentration von Kalium-Ionen außen ergibt sich ein negatives Membranpotential, d.h. die Nervenzelle ist gegenüber der Außenseite negativ geladen. Außerdem trägt eine Natrium-Kalium-Pumpe (Na^+/K^+ -ATPase) zum Erhalt des Membranpotentials bei.

1.2 Nernst-Gleichung

Mit Hilfe diese Gleichung lässt sich das Gleichgewichtspotential E_{ion} für Ionen berechnen, d.h. das Membranpotential bei dem sich die Ionenbewegungen im Gleichgewicht befinden. Dieses Potential ist abhängig von der Ionenkonzentration außen c_a und innen c_i . Außerdem wird vereinfachend eine Temperatur von 20 Grad angenommen.

$$E_{ion} = 58\text{mV} \cdot \log\left(\frac{c_a}{c_i}\right) \quad (1)$$

Um mehrere Ionen für das Membranpotential von Neuronen zu berücksichtigen, benötigt man die komplexere Goldman-Gleichung. Sie bezieht zusätzlich für jedes Ion die entsprechende Permeabilität der Membran mit ein.

1.3 Voltage-Clamp-Methode

Um Strom durch Ionenkanäle der Nervenzellmembran zu messen verwendet man die Voltage-Clamp-Technik. Dabei wird eine Elektrode verwendet, die die Spannung an der Membran misst und mit einer Sollspannung vergleicht. Dazu wird noch eine zweite Elektrode benötigt, die entsprechende Abweichungen von der Sollspannung ausgleichen soll. Dieser benötigte Stromfluss entspricht dem Ionenstrom durch die Membran.

1.4 Aktionspotentiale

Eine Nervenzelle wird durch die Bindung eines Neurotransmitters an einen ligandengesteuerten Ionenkanal in der Plasmamembran aktiviert. Dieser Kanal öffnet sich durch die Bindung, woraufhin Na^+ entlang des Konzentrationsgradienten in die Zelle einströmt und eine Depolarisation bewirkt. Spannungsabhängige Na^+ -Kanäle entlang des Axons einer Nervenzelle, die durch die Depolarisation in benachbarten Regionen der Zelle kurz geöffnet werden, sorgen für die Ausbreitung des Aktionspotentials in Form einer Depolarisationswelle durch das Neuron. Kurz nach der Depolarisation durch den Natrium-Einstrom öffnen sich auch spannungsgesteuerte K^+ -Kanäle entlang des Axons, die wiederum eine Repolarisation durch den Ausstrom von Kalium bewirken. Da diese Kalium-Kanäle etwas langsamer schließen, kommt es zu einer Hyperpolarisation der Zelle. Anschließend wird das Ruhepotential durch Leckströme von Ionen und die Aktivität der Natrium-Kalium-Pumpe wiederhergestellt.

1.5 Refraktärphase

Nachdem die Natrium-Kanäle während der Depolarisation kurz geöffnet waren, sind sie für eine bestimmte Zeit inaktiviert. Diese Phase nennt man Refraktärphase. Währenddessen können diese Natrium-Kanäle nicht aktiviert werden und ein weiteres Aktionspotential auslösen. Dadurch wird erreicht, dass sich die Depolarisationswelle, d.h. das Aktionspotential, nur in eine Richtung entlang des Axons ausbreitet.

Man unterscheidet zwischen der absoluten und relativen Refraktärphase. Während der absoluten Refraktärphase ist eine Erregung überhaupt nicht möglich, auch nicht durch eine starke Depolarisation.

Die relative Refraktärphase beginnt direkt nach der absoluten Refraktärphase. Hier ist eine erneute Erregung zwar möglich, aber das Schwellenpotential ist deutlich höher. Das heißt, um erneut ein Aktionspotential auszulösen ist ein stärkerer Reiz nötig. Außerdem ist während dieser Zeit die Amplitude des resultierenden Aktionspotentials verringert.

1.6 Bewegungsdetektion

Die Informationen aus wahrgenommenen Reizen der Photorezeptoren müssen mittels Interneuronen entsprechend verschaltet werden, um Bewegungen an sich und deren Richtung und Geschwindigkeit wahrnehmen zu können.

Im Folgenden werden zwei Modelle für Bewegungswahrnehmung vorgestellt.

Beim **Barlow-Levick Modell** (auch Halbdetektor) ist eine Unterscheidung zwischen Vorzugs- und Nullrichtung möglich. Er besteht aus zwei Neuronen, von denen eins das Signal zweitverzögert an ein drittes Neuron weiterleitet. Wird ein Reiz in Null-Richtung wahrgenommen, kommen so beide Signale zeitgleich am dritten Neuron an, welches über eine hemmende Synapse somit eine Hemmung schließlich an ein viertes Neuron weiterleitet. Würde dagegen eine Bewegung in der bevorzugten Richtung wahrgenommen werden, kämen die beiden Signale der ersten beiden Neurone nicht zeitgleich am dritten Neuron an, wodurch keine Hemmung an das vierte Neuron weitergeleitet werden würde. (siehe Skript) Das **Reichardt-Hassenstein Modell** besteht quasi aus zwei gespiegelten Halbdetektoren. Somit kann dieses Detektor Bewegungen in beide Richtungen wahrnehmen, da beide der Untereinheiten eine Bewegungsrichtung erkennen kann. Das Modell besteht aus 5 Neuronen, die so verschaltet sind (auch mit Zeitverzögerung), dass das Signal für beide Bewegungsrichtungen wahrgenommen wird und entsprechend mit entgegengesetztem Vorzeichen weitergegeben wird.

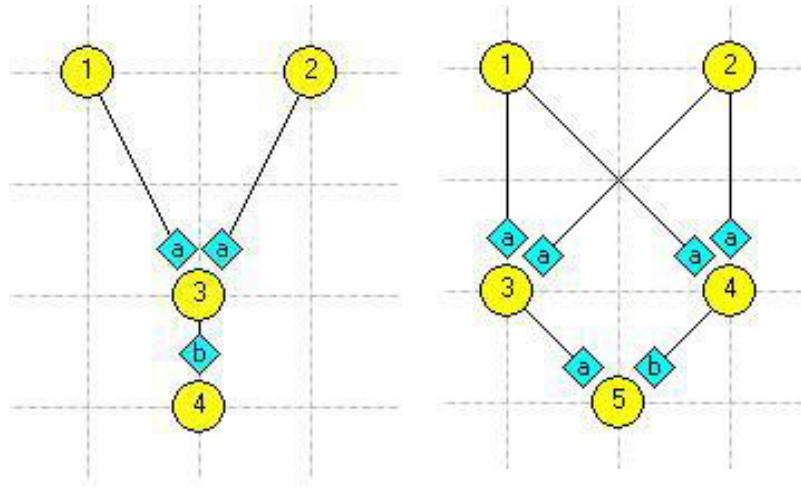


Abbildung 1: Die Abbildung zeigt links schematisch den Aufbau eines Barlow-Levick Modells und rechts den eines Reichardt-Hassenstein Modells. a steht dabei für erregende Synapsen und b für hemmende Synapsen. Hier wäre die Vorzugsrichtung von links nach rechts. Die gelben Kreise repräsentieren Neurone.

2 Material und Methoden

2.1 Material

Für diesen Versuch benötigten wir lediglich einen Computer mit der Software Neurosim.

2.2 Versuchsaufbau

1. Modul Goldman

Wie in Abb. 2 zu erkennen handelt es sich um einen simplen Versuchsaufbau. Von der gegebenen Skala können das Membranpotential, sowie die Gleichgewichtspotentiale der K^+ -, Na^+ - und Cl^- -Ionen in mV abgelesen werden.

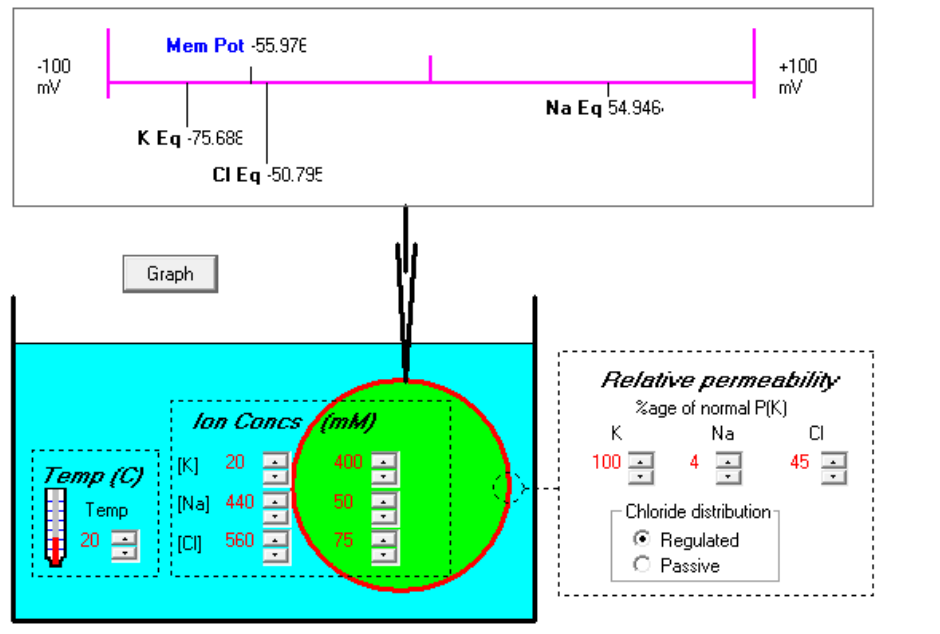


Abbildung 2: Die Abbildung zeigt den Versuchsaufbau innerhalb der Simulation Neurosim. Der grüne Kreis stellt eine Zelle dar, die sich in einem Außenmedium, der blauen Umgebung befindet. Der Pfeil steht für eine Elektrode, die neben den Gleichgewichtspotentiale der Ionen auch das Membranpotential misst.

Zusätzlich konnten Temperatur, Ionenkonzentrationen innerhalb und außerhalb der Zelle, sowie die relative Permeabilität der Zellmembran in Bezug zu der Permeabilität gegenüber K⁺-Ionen verändert werden. Für unseren Versuch wählten wir folgende Parameter (s. Abb. 2: Die Temperatur der Lösung wurde auf 20°C heraufgesetzt. Die relative Permeabilität für K⁺-Ionen wurde auf 100 gesetzt, die von Na⁺-Ionen auf 4 und die der Cl⁻-Ionen auf 45. Die Konzentration der K⁺-Ionen innerhalb der Zelle lag bei 400 mM, außerhalb bei 20 mM. Na⁺-Ionen hatten im Äußeren der Zelle eine Konzentration von 440 mM und im Zellinneren eine von 50 mM, während Cl⁻-Ionen im Außenmedium eine Konzentration von 560 mM aufwiesen und im Inneren 75 mM.

2. Modul Hodgkin-Huxley (Current-Clamp)

Auch in diesem Teil des Versuches wird eine Zelle in einem Außenmedium simuliert (s. Abb. ??). Allerdings wird in diesem Aufbau eine Reizelektrode ergänzt, die an eine current clamp angeschlossen ist.

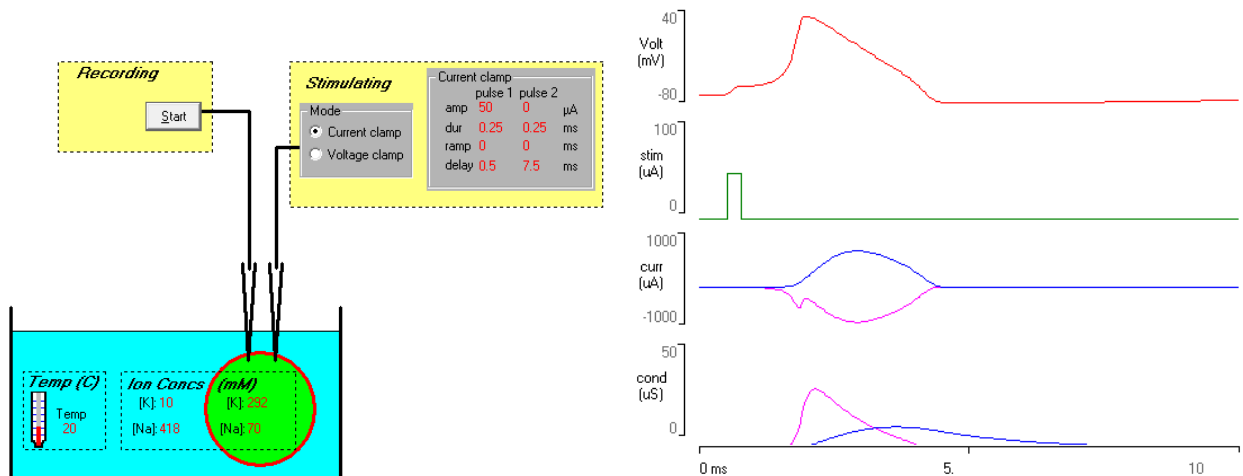


Abbildung 3: Die Abbildung zeigt den anfänglichen Versuchsaufbau innerhalb der Simulation Neurosim. Links ist der Versuchsaufbau dargestellt, das Zellinnere in grün mit roter Zellmembran und das Außenmedium in blau. Es gibt zwei Elektroden die ins Zellinneren reichen, eine Messelektrode und eine Reizelektrode, die mit einer current clamp verbunden ist. Rechts zeigen Kurven die Werte der Reizungen, sowie die im Zellinneren gemessenen Werte.

Zu Anfangs wählten wir für das Außenmedium hat eine Temperatur von 20° C und weist eine Na^+ -Konzentration von 418 mM und eine K^+ -Konzentration von 10 mM auf. Im inneren der Zelle liegen Na^+ -Ionen mit einer Konzentration von 70 mM und K^+ -Ionen mit einer Konzentration von 292 mM vor.

Über die Reizelektrode können zwei Reize voreingestellt und mit Start in die Zelle übertragen werden. Mithilfe der Parameter konnten jeweils die Amplitude in μA (s. Abb. 3: "amp"), die Dauer (s. Abb. ??: "dur") in ms und die Verzögerung (s. Abb. 3: "delay") in ms eingestellt werden.

Für die zweite Hälfte dieses Versuchsteils wurde die Temperatur auf 6° C herabgesetzt und die K^+ -Konzentration innerhalb der Zelle

auf 390 mM erhöht. Zusätzlich wurde die Dauer des Reizes auf 90 ms erhöht.

3. Modul Hodgkin-Huxley (Voltage-Clamp)

Für diesen Teil des Versuchs wurde der Aufbau erneut leicht angepasst. Die current clamp wurde durch eine Voltage Clamp ersetzt (s. Abb. 4).

Für die Voltage Clamp können Halte- und Klemmspannung in mV sowie die Dauer in ms eingestellt werden. Außerdem können zusätzlich die Gifte "TTX", "TEA" und "Scorp Tx" in das System eingeleitet werden.

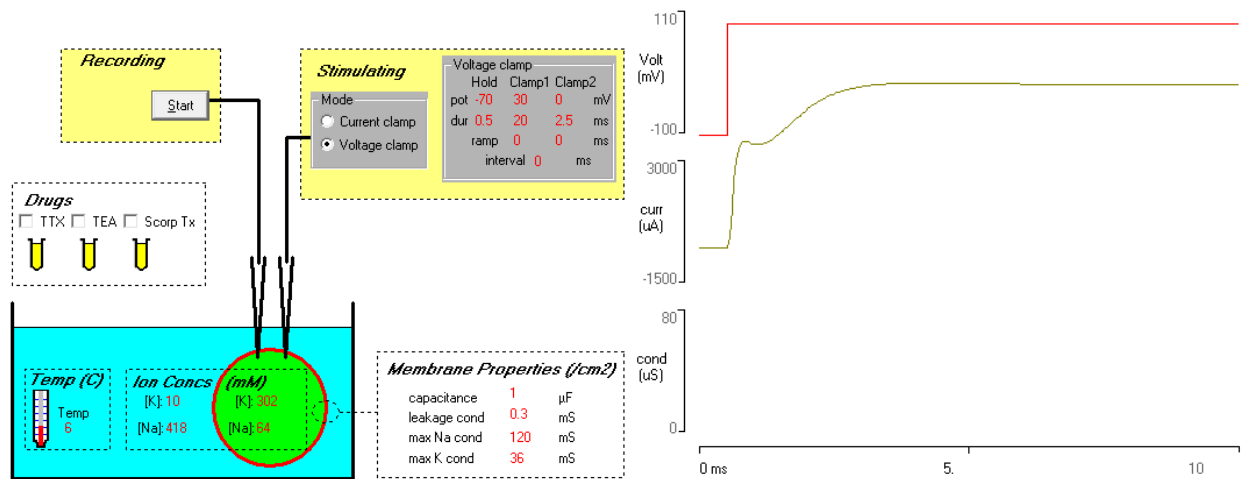


Abbildung 4: Die Abbildung zeigt den Versuchsaufbau für den dritten Versuchsteil mit der Voltage Clamp. Rechts der Versuchsaufbau mit Voltage Clamp. Links die dazugehörigen Werte als Graphen.

Diesmal wurde für das Außenmedium eine Temperatur von 6° eingestellt. Die Ionenkonzentrationen innerhalb der Zelle betrugen 302 mM für K^+ und 64 mM für Na^+ . Außerhalb der Zelle waren die K^+ -Konzentration auf 10 mM und die Na^+ -Konzentration auf 418 mM eingestellt.

An der Haltespannung der Voltage Clamp wurde auf -70 mV gestellt, die Klemmspannung auf +30mV.

Die Graphen (s. Abb. 4 links) zeigten die Spannung in mV und die Stromstärke in μA .

4. **Bewegungswahrnehmung**

Für den letzten Versuchsteil zur Bewegungswahrnehmung wurde in Neurosim eine neue Oberfläche geladen in der Neuronen und Synapsen zu neuronalen Netzwerken verknüpft werden konnten.

2.3 **Versuchsdurchführung**

1. **Modul Goldman**

Die Konzentration der K^+ -Ionen im Außenmedium wurde von 10 mM in 50er Schritten auf 800 mM heraufgesetzt. Bei jedem Schritt notierten wir das Gleichgewichtspotential (E_q) von K^+ in mV und das Membranpotential (V_m) in mV.

2. **Modul Hodgkin-Huxley: Current clamp**

Als erstes wurde ausgehend von 50 μA die Stromamplitude des Reizes reduziert bis auf zwei Nachkommastellen genau gerade kein Aktionspotential mehr ausgelöst wird. Ausgehend von dem ermitteltem Wert wurde nun die Amplitude in 10er Schritten erhöht und die Maximalspannung in mV sowie die Dauer bis zum Erreichen der Maximalspannung in ms notiert.

Im zweiten Teil (nach Heruntersetzen der Temperatur auf 6° C (s. Abschnitt Versuchsaufbau)) wurde der Reizstrom erst in kleinen (0.2 μA) und später in größeren (bis 5 μA) Schritten auf 130 μA gesteigert. Die Anzahl der auftretenden Aktionspotentiale in 100 ms wurde festgehalten und die daraus die Frequenz pro Sekunde berechnet.

3. **Modul Hodgkin-Huxley: Voltage clamp**

Es wurde ein Reiz mit den eingestellten Parametern induziert und der ausgelöste Gesamtstrom im Graphen festgehalten.

Die selektiven Kanalblocker TTX und TEA wurden aktiviert um jeweils entweder den Strom der K^+ - bzw. Na^+ -Ionen zu blockieren.

Anschließend wurde von einem Haltepotential von -100 mV ausgehend die Klemmspannungen zwischen -50 mV und +50 mV in 10er Schritten eingestellten und jeweils der maximale Stromfluss der Ionen unter Verwendung der Kanalblocker notiert.

4. **Bewegungswahrnehmung**

Für diesen letzten Versuchsteil wurde ein neuronales Netz nach Barlow-Levick konstruiert das Bewegungen von links nach rechts detektieren kann und getestet was passiert wenn sich der Reiz stattdessen von

rechts nach links ausbreitet, bzw. die Bewegung von rechts nach links geht.

Anschließend wurde dieses Netzwerk zu einem Reichardt-Detektor erweitert und die Entwicklung von Aktionspotentialen an den verschiedenen Neuronen bei verschiedenen Arten der Reizung beobachtet.

3 Ergebnisse

3.1 Modul Goldmann

3.2 Modul Hodgkin - Huxley: Current Clamp

Tabelle 1: Erhöhen des Stimulus bei 20° C, ausgehend von 40.74 μA

Reizstrom in μA	Zeit bis zur maximalen Spannung in ms	maximale Spannung in mV
40.74	0.84	21.82
50.74	0.61	25.09
60.74	0.52	30.55
70.74	0.44	27.27
80.74	0.42	28.36
90.74	0.4	29.45

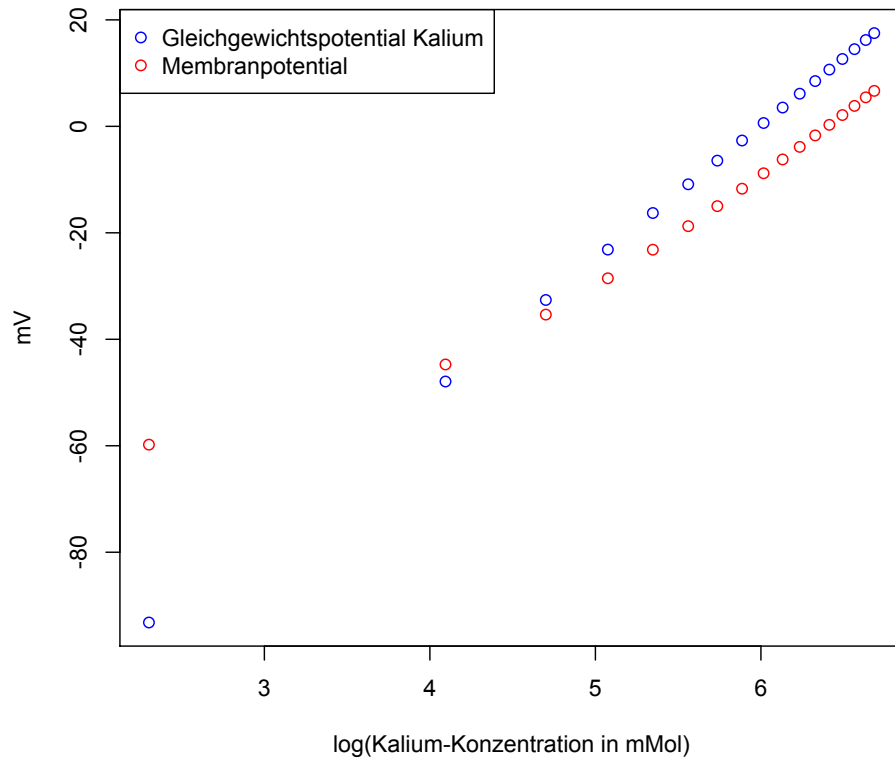


Abbildung 5: Plot mit Graphen des Membranpotentials und des Gleichgewichtspotentials von Kalium in Abhängigkeit der Kalium-Konzentration außen (log-transformiert)

Tabelle 2: Steigern des Reizstroms auf $130\mu A$

Reizstrom in μA	AP pro 100ms	Entladungsfrequenz in Hz
2	1	10
2,02	2	20
2,06	3	30
2,08	4	40
3	5	50
5,4	6	60
10	7	70
16	8	80
22	9	90
30	9	90
35	10	100
40	10	100
45	11	110
55	12	120
70	12	120
75	13	130
90	13	130
95	14	140
115	14	140
120	1	10
125	1	10
130	1	10

3.3 Modul Hodgkin - Huxley: Voltage Clamp

Tabelle 3: Testen verschiedener Klemmspannungen bei -100 mV Haltespannung

Klemmspannung in -100 mV	maximaler Stromfluss K^+	maximaler Stromfluss Na^+
-50	94,41	-346,15
-40	346,15	-1069,93
-30	692,31	-1793,71
-20	1132,87	-2230,77
-10	1604,9	-2409,09
0	2108,39	-2318,18
10	2548,95	-2090,91
20	2989,51	-1608,39
30	3398,6	-1013,99
40	3870,63	-363,64
50	4248,25	342,66

3.4 Bewegungswahrnehmung